

PACS: 81.40.Rs, 66.30.-h, 81.40.-z

Б.М. Эфрос, А.И. Дерягин, Л.С. Метлов, В.А. Ивченко, Н.Б. Эфрос,  
В.Н. Варюхин

## КОНЦЕНТРАЦИОННОЕ РАССЛОЕНИЕ И СТРУКТУРНЫЕ ИЗМЕНЕНИЯ В Fe–Cr–Ni–СПЛАВЕ ПРИ ТЕПЛОЙ ВИНТОВОЙ ДЕФОРМАЦИИ

Статья поступила в редакцию 27 ноября 2014 года

*Обнаружено, что эффект деформационно-индуцированного перераспределения элементов в сплаве  $Fe_{59}Ni_{30}Cr_{11}$  уменьшается при повышении температуры деформации от 0 до 300 °C. Проведенные эксперименты показывают, что предсказанные теорией увеличение сегрегаций никеля на стоках и, следовательно, значительное повышение намагниченности образцов с ростом температуры деформации не подтвердились, несмотря на повышенную диффузионную подвижность.*

**Ключевые слова:** ГЦК-сплавы, интенсивная пластическая деформация, расслоение, ферромагнитные кластеры

*Виявлено, що ефект деформаційно-індукованого перерозподілу елементів у сплаві  $Fe_{59}Ni_{30}Cr_{11}$  зменшується при підвищенні температури деформації від 0 до 300 °C. Проведені експерименти показують, що передбачені теорією збільшення сегрегацій нікелю на стоках і, отже, значне підвищення намагніченості зразків зі зростанням температури деформації не підтвердилися, незважаючи на підвищену дифузійну рухливість.*

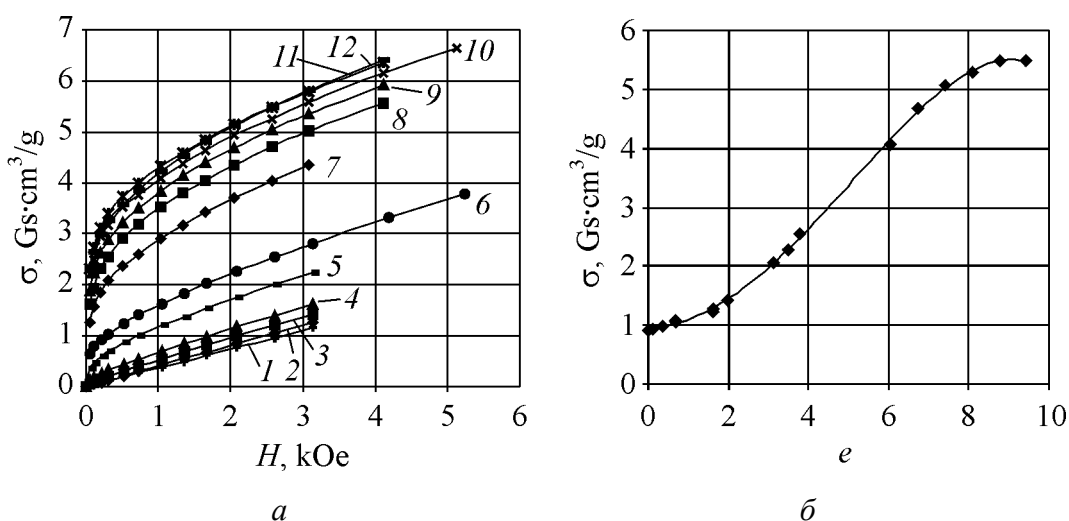
**Ключові слова:** ГЦК-сплави, інтенсивна пластична деформація, розшарування, феромагнітні кластери

Аустенитные Fe–Cr–Ni–сплавы, широко используемые в reactorостроении, испытывают радиационно-индуцированное перераспределение легирующих атомов, что вызывает образование в районе стоков точечных дефектов (границ зерен) сегрегаций никеля [1]. При облучении до высокого ( $10^{23}$  n/cm<sup>2</sup>) флюенса сплав X16H15M3Б, парамагнитный в исходном состоянии, становится суперпарамагнитным, что объясняется формированием наноразмерных кластеров, обогащенных никелем [2]. Аналогичное явление обнаружено при холодной интенсивной пластической деформации (ИПД) Fe–Cr–Ni–сплавов [3]. Наблюдаемые эффекты объясняются тем, что в обоих случаях (нейтронное облучение и ИПД) возникает высокая концентрация неравновесных точечных дефектов, перемещение которых на

стоки (границы зерен и субзерен) вызывает обогащение никелем приграничных областей.

В работах [3,4] была предложена модель деформационно-индуцированной сегрегации, а в [5] учтено влияние скорости перемещения границ зерен в трехкомпонентном Fe–Cr–Ni-сплаве при различных температурах и составах сплава. Теоретически было предсказано усиление приграничных сегрегационных процессов при движении границ зерен и повышении температуры деформации до 150–550°C [3,5]. Целью данной работы являлась проверка этого предсказания. Исследования проведены на сплаве Fe<sub>59</sub>Ni<sub>30</sub>Cr<sub>11</sub>, деформированном при различных температурах от 0 до 300°C. Методика эксперимента изложена в работе [6]. Образцы из данного сплава подвергали ИПД. В последнее время пристальное внимание исследователей в области физического материаловедения привлекают специальные методы ИПД, являющиеся мощным инструментом преобразования структуры материалов: кручение дисковых заготовок на наковальнях Бриджмена, равноканальное угловое прессование цилиндрических и призматических заготовок, всесторонняя изотермическая ковка, винтовое прессование (ВП).

Влияние холодной деформации на магнитные свойства сплава Fe<sub>59</sub>Ni<sub>30</sub>Cr<sub>11</sub> показано на рис. 1. В условиях малых и средних степеней деформации (до  $\varepsilon = 50$ –75% обжатия прокаткой) практически сохраняется прямо пропорциональная зависимость удельной намагниченности от магнитного поля  $\sigma(H)$ . При логарифмических степенях деформации  $e > 1.6$  ( $\varepsilon = 80\%$ ) зависимость  $\sigma(H)$  становится нелинейной, наблюдается изгиб кривых

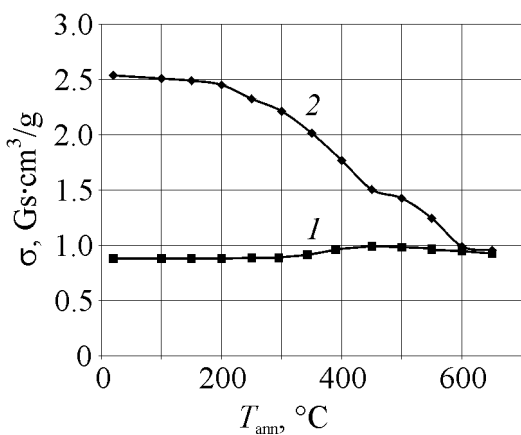


**Рис. 1.** Зависимость удельной намагниченности  $\sigma$  сплава Fe<sub>59</sub>Cr<sub>11</sub>Ni<sub>30</sub> при 24°C: *а* – от величины магнитного поля  $H$  после различной холодной деформации  $e$ : 1 – 0, 2 – 0.7, 3 – 1.6, 4 – 2.0, 5 – 3.1, 6 – 3.8, 7 – 6.0, 8 – 6.7, 9 – 7.4, 10 – 8.1, 11 – 8.8, 12 – 9.4; *б* – от степени холодной деформации  $e$  (магнитное поле  $H = 2.6$  kOe)

намагничивания в малых полях, причем гистерезис или остаточная намагниченность отсутствуют. Кроме того, наблюдается ускорение роста намагниченности при деформации  $\sigma > 80\%$ , что отчетливо представлено изгибом на кривой (рис. 1, б) в точке  $e = 1.6$ . Такое поведение характерно для парамагнетика с локально возникшими ферромагнитными областями малых размеров.

Дальнейшее увеличение деформации путем сдвига под давлением вызывает еще больший рост удельной намагниченности. Интенсивность повышения намагниченности в начале деформации сдвигом под давлением сохраняется такой же, как и при деформации прокаткой со степенью  $e > 1.6$  ( $\varepsilon > 80\%$ ). Однако при  $e = 8.8$  рост удельной намагниченности прекращается, и зависимость  $\sigma(e)$  выходит на уровень насыщения вплоть до максимальной использованной деформации  $e = 9.5$ .

Возникшие ферромагнитные сегрегации исследованы на устойчивость к отжигу (рис. 2). Намагниченность образцов после ИПД при 24°C при отжиге до 200°C изменяется мало. В районе температур 250–550°C необратимое устранение повышенной намагниченности происходит наиболее интенсивно. Окончательное восстановление величины намагниченности до исходного значения в недеформированном состоянии происходит с выравниванием состава деформированного ГЦК-сплава и имеет место при  $\sim 600^\circ\text{C}$ . Отжиг при 100–650°C закаленного недеформированного сплава Fe<sub>59</sub>Ni<sub>30</sub>Cr<sub>11</sub> практически не изменяет его намагниченности, измеряемой при 24°C.



**Рис. 2.** Зависимость удельной намагниченности образцов  $\sigma$  сплава Fe<sub>59</sub>Cr<sub>11</sub>Ni<sub>30</sub> в магнитном поле  $H = 2.6$  кОе при температуре 24°C от температуры последовательного 30-минутного отжига  $T_{\text{анн}}$  через 50°C: 1 – недеформированный сплав, 2 – деформированный до  $e = 1.6$  ( $\varepsilon = 97.7\%$ )

Обсуждение полученных результатов [6] приводит к выводу, что объяснить наблюдаемое изменение магнитных свойств можно только перераспределением атомного состава, которое инициируется большим количеством деформационных вакансий и междуузлий. Как известно [6], точечные дефекты радиационного происхождения воздействуют на перераспределение легирующих элементов в austenитных никелевых и хромоникелевых сталях. Причины подобного влияния состоят в том, что то-

чечные дефекты, образованные в результате радиационного воздействия или сильной пластической деформации, движутся к стокам (границам зерен и фрагментов, дислокациям). Междуузельные атомы с разными радиусами имеют различную подвижность, что вызывает обогащение стоков более «подвижными элементами». С другой стороны, навстречу потокам вакансий возникает противоток (от стоков) легирующих элементов, мигрирующих с различными скоростями. Результатирующий эффект заключается в обогащении или обеднении областей стоков точечных дефектов никелем, хромом, железом.

С целью проверки теоретических предсказаний, а также, возможно, обнаружения в этом случае кластеров, обогащенных никелем, нами проведены исследования сплава  $\text{Fe}_{59}\text{Ni}_{30}\text{Cr}_{11}$ , деформированного при ВП. На рис. 3 показана зависимость удельной намагниченности от магнитного поля при температуре  $22^\circ\text{C}$  после различных обработок сплава. Его температура Кюри  $\sim 40^\circ\text{C}$ , и при комнатной температуре он парамагнитный. Можно видеть близость кривых для закаленного состояния и для деформированного ВП до  $e = 3$  при  $300^\circ\text{C}$ . Прямолинейная зависимость удельной намагниченности от магнитного поля свидетельствует о парамагнитном состоянии сплава, закаленного и деформированного ВП. По данным электронной микроскопии (рис. 4), после ВП ( $e = 3$ ) зерна сплава  $\text{Fe}_{59}\text{Ni}_{30}\text{Cr}_{11}$  вытянуты, средняя длина зерен близка к  $1 \mu\text{m}$ , а ширина – к  $\sim 0.2 \mu\text{m}$ .

На рис. 5 приведена удельная намагниченность сплава  $\text{Fe}_{59}\text{Ni}_{30}\text{Cr}_{11}$  после ВП ( $e = 3$ ) при  $300^\circ\text{C}$ , измеренная при разных температурах (от  $19$  до  $202^\circ\text{C}$ ). Все зависимости намагниченности от поля прямолинейны, что свидетельствует об отсутствии парамагнитного поведения сплава X11Н30 в недеформированном состоянии. По данным рис. 6 видно практическое полное совпадение температурных зависимостей намагниченности в фиксированном магнитном поле обоих состояний (кривые 2 и 3). Таким образом, повышение температуры деформации ( $e = 3$ ) до  $300^\circ\text{C}$  вообще не вызывает появления ферромагнитных кластеров, хотя теоретические расчеты предсказывают обратное [5].

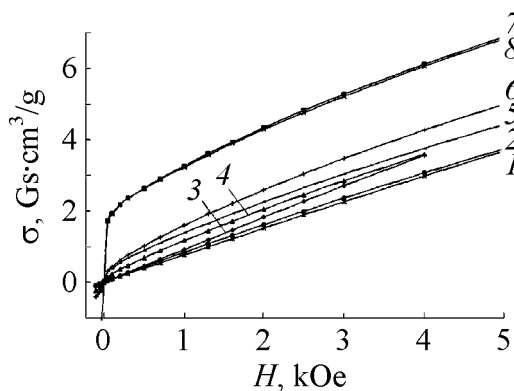
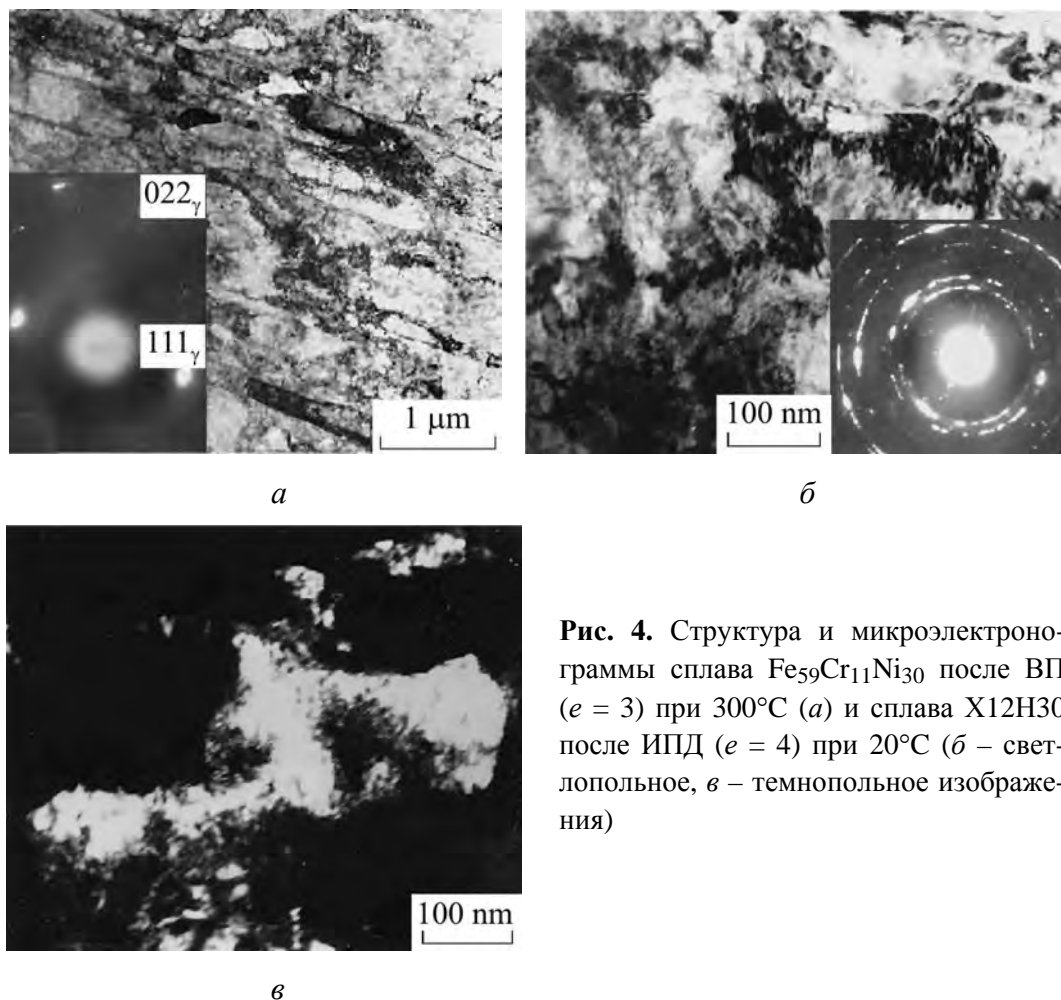
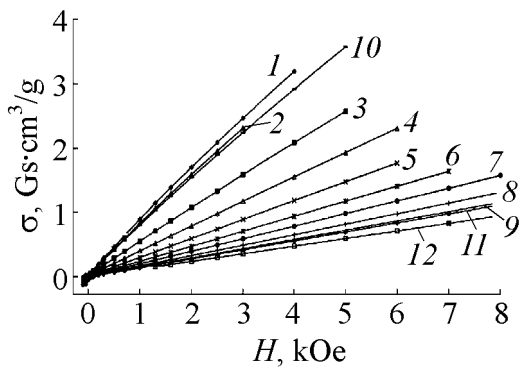


Рис. 3. Зависимость удельной намагниченности  $\sigma$  от магнитного поля  $H$  сплава  $\text{Fe}_{59}\text{Cr}_{11}\text{Ni}_{30}$  при  $T = 22^\circ\text{C}$  после различных обработок: 1 –  $e = 0$ ; 2 –  $e = 3$  ( $300^\circ\text{C}$ ); 3 –  $e = 3$  ( $300^\circ\text{C}$ ) + отжиг ( $650^\circ\text{C}$ , 30 мин); 4 –  $e = 2.0$  ( $20^\circ\text{C}$ ); 5 –  $e = 2.0$  ( $20^\circ\text{C}$ ) + 1.4 ( $95^\circ\text{C}$ ); 6 –  $e = 2.0$  ( $20^\circ\text{C}$ ) + 1.4 ( $0^\circ\text{C}$ ); 7 –  $e = 2.0$  ( $20^\circ\text{C}$ ) + 1.4 ( $95^\circ\text{C}$ ) + 3.1 ( $20^\circ\text{C}$ ); 8 –  $e = 2.0$  ( $20^\circ\text{C}$ ) + 1.4 ( $95^\circ\text{C}$ ) + 3.1 ( $20^\circ\text{C}$ ) + 77 K

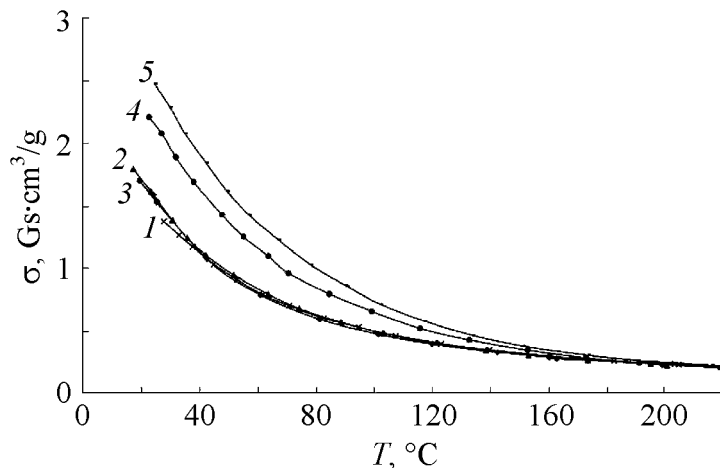


**Рис. 4.** Структура и микроэлектроно-грамммы сплава  $\text{Fe}_{59}\text{Cr}_{11}\text{Ni}_{30}$  после ВП ( $e = 3$ ) при  $300^\circ\text{C}$  (а) и сплава X12H30 после ИПД ( $e = 4$ ) при  $20^\circ\text{C}$  (б – светлопольное, в – темнопольное изображения)



**Рис. 5.** Зависимость удельной намагниченности  $\sigma$  от магнитного поля  $H$  сплава  $\text{Fe}_{59}\text{Cr}_{11}\text{Ni}_{30}$  (ВП  $e = 3$  при  $300^\circ\text{C}$ ) при разных температурах измерения  $T$ ,  $^\circ\text{C}$ : 1 – 19.3, 2 – 24.1, 3 – 42.2, 4 – 60.2, 5 – 80.8, 6 – 101.3, 7 – 120.0, 8 – 142.4, 9 – 159.9, 10 – 23.9 ( $160^\circ\text{C}$ ), 11 – 162.4, 12 – 202.5

Следует отметить, что степень деформации ВП ( $e \approx 3$ ) при  $300^\circ\text{C}$  может быть недостаточной для формирования обогащенных никелем кластеров в сплаве  $\text{Fe}_{59}\text{Ni}_{30}\text{Cr}_{11}$ , поэтому на тех же образцах (закаленных после ВП) была проведена холодная деформация при  $20^\circ\text{C}$ . Как видно из рис. 6 (кривая 4), холодная ( $20^\circ\text{C}$ ) прокатка образца, закаленного после ВП, даже до меньшей степени деформации ( $e = 2$ ) заметно изменяет вид кривой в малых полях, приводя к формированию ферромагнитных кластеров.



**Рис. 6.** Зависимость удельной намагниченности  $\sigma$  стали X12H30 от температуры  $T$  в фиксированном магнитном поле  $H = 2.6$  кОе после различных степеней деформации: 1 –  $e = 3$  (300°C) + закалка; 2 –  $e = 3$  (300°C) + закалка, повтор; 3 –  $e = 3$  (300°C); 4 –  $e = 2$  (20°C) + 1.4 (95°C); 5 – 2 (20°C) + 1.4 (0°C)

Для уточнения влияния температуры деформации на перераспределение никеля в сплаве Fe<sub>59</sub>Ni<sub>30</sub>Cr<sub>11</sub> была проведена дополнительная деформация ( $e = 2$ ) этих же образцов при строго фиксированных температурах, близких к 0 и 100°C соответственно в ледяной и кипящей воде. Дополнительная деформация ( $\Delta e = 1.4$ ) при этих температурах вызывает еще больший изгиб кривых и увеличение намагниченности (рис. 6), что объясняется формированием ферромагнитных кластеров.

Из сравнения намагниченностей после дополнительной деформации при  $T = 95^\circ\text{C}$  и  $T = 0$  (кривые 4 и 5) можно сделать вывод о том, что чем ниже температура деформирования (в интервале 0–300°C), тем больше деформационно-индуцированное перераспределение никеля, которое при пониженной температуре ( $T \approx 0$ ) можно объяснить деформационной генерацией вакансий и междуузельных атомов [5].

Более наглядно влияние температуры деформирования проявляется на температурной зависимости намагниченности в фиксированном магнитном поле. Заметна повышенная намагниченность сплава Fe<sub>59</sub>Ni<sub>30</sub>Cr<sub>11</sub> после деформации при  $T = 0$  (кривая 5), которая уменьшается в процессе деформации при 95°C (кривая 4) и совсем исчезает в условиях деформации ВП при 300°C (кривая 3). Никакого температурного гистерезиса в интервале температур от комнатной до 220°C не обнаружено, кривые полностью совпадают при нагреве и охлаждении.

Эксперименты свидетельствуют, что предсказанные теорией увеличение сегрегаций никеля на стоках и, следовательно, значительное повышение намагниченности образцов с ростом температуры деформации не подтвердились, несмотря на повышенную диффузионную подвижность.

Приведенные теоретические рассуждения основаны на предположении, что сегрегационные процессы, протекающие при радиационном облучении

и при ИПД, можно описать одними и теми же уравнениями [4,5]. Однако совершенно очевидно, что эти процессы кардинально различаются. Во-первых, время сегрегации при облучении значительно больше времени протекания сегрегационных процессов при ИПД. Следовательно, совершенно недостаточно сказать здесь, что поточечная диффузия атомов и вакансий ускоряется за счет деформационных процессов. Необходимо либо уточнить механизм такого ускорения, либо искать другие механизмы сегрегации.

Во-вторых, ваканции действительно могут либо генерироваться, либо исчезать в больших количествах при ИПД при неконсервативном движении дислокаций. Однако необходимо учитывать влияние на эти процессы плотности дислокаций и вакансий, которое будет значительно слабее по сравнению с прямым влиянием дефектов большей «мощности» (дислокаций и границ зерен).

В соответствии с идеологией неравновесной эволюционной термодинамики [7–9] рассмотрим функционал внутренней энергии в виде [10]:

$$u(h_g, h_D) = \sum_{l=g, D} \left( -\frac{1}{2} D_l (\nabla h_l)^2 + \varphi_{0l} h_l - \frac{1}{2} \varphi_{1l} h_l^2 + \frac{1}{3} \varphi_{2l} h_l^3 - \frac{1}{4} \varphi_{3l} h_l^4 \right) + \varphi_{gD} h_g h_D, \quad (1)$$

где  $D_l$  – эффективные коэффициенты диффузии;  $\varphi_{kl}$ ,  $\varphi_{gD}$  – некоторые коэффициенты, зависящие от равновесной переменной  $\varepsilon_{ij}^e$  как от управляющего параметра:

$$\begin{aligned} \varphi_{0l} &= \varphi_{0l}^* + g_l \varepsilon_{ii}^e + \left( \frac{1}{2} \bar{\lambda}_l \left( \varepsilon_{ii}^e \right)^2 + \bar{\mu}_l \left( \varepsilon_{ij}^e \right)^2 \right), \\ \varphi_{1l} &= \varphi_{1l}^* - 2 e_l \varepsilon_{ii}^e, \end{aligned} \quad (2)$$

где  $\varphi_{0l}^*$ ,  $\varphi_{1l}^*$ ,  $g_l$ ,  $\bar{\lambda}_l$ ,  $\bar{\mu}_l$  и  $e_l$  – феноменологические параметры модели. Индексы  $g$ ,  $D$  относятся к границам зерен и дислокациям соответственно. Для удобства дефекты  $H_l$  заменены их плотностями  $h_l$ , аналогично  $S \rightarrow s$ ,  $U \rightarrow u$ . Несущественная константа в (1) опущена. Полиноминальное представление термодинамических потенциалов является классическим приемом равновесной и неравновесной термодинамики.

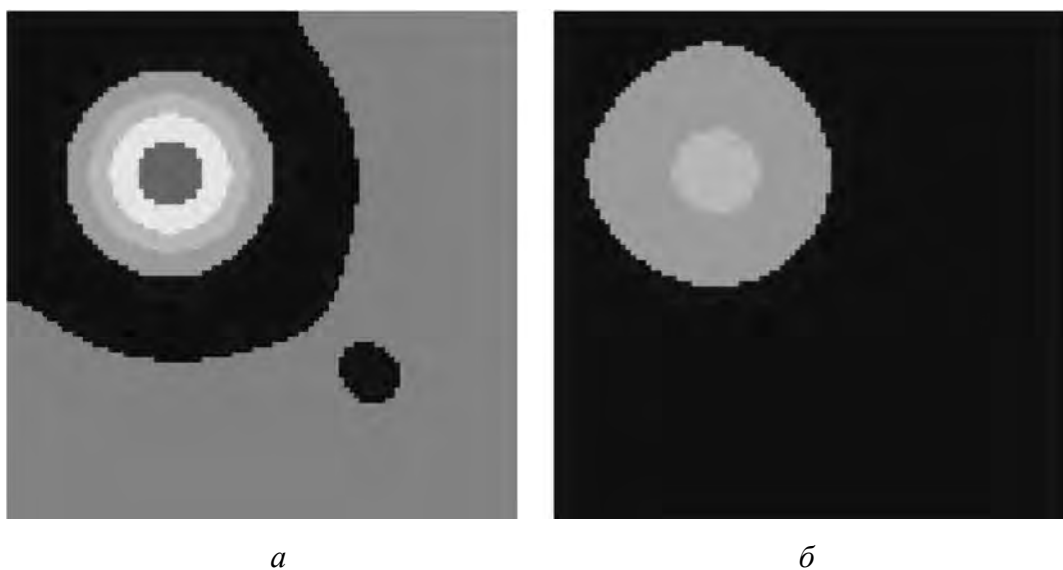
Варьируя функционал внутренней энергии, получим систему эволюционных уравнений для системы с неоднородным распределением плотностей дефектов

$$\begin{aligned} \frac{\partial h_D}{\partial t} &= \gamma_{h_D} \left( \Delta h_D + \varphi_{0D} - \varphi_{1D} h_D + \varphi_{gD} h_g \right), \\ \frac{\partial h_g}{\partial t} &= \gamma_{h_g} \left( \Delta h_g + \varphi_{0g} - \varphi_{1g} h_g + \varphi_{2g} h_g^2 - \varphi_{3g} h_g^3 + \varphi_{gD} h_D \right). \end{aligned} \quad (3)$$

Такой способ получения системы уравнений (3) является прямым обобщением техники функционала свободной энергии Ландау. Из записи данных

уравнений видно, что их дифференциальная часть в точности совпадает с диффузионными уравнениями для плотностей дислокаций и границ зерен. Отсюда следует, что «диффузия» этих дефектов может быть альтернативным механизмом массопереноса при ИПД, в том числе она может не через генерацию вакансий, а напрямую влиять на перенос компонентов сплава. Тем более, что высокая размерность этих дефектов делает их по определению более предпочтительными кандидатами в качестве эффективных агентов массопереноса.

Для начала проверим, как работают уравнения (3) сами по себе, безотносительно к разделению компонентов сплава. Для расчетов использовали следующие параметры (обоснование методики выбора параметров однородной модели см., напр., в [9,11]):  $\phi_{0D}^* = 5 \cdot 10^{-9} \text{ J} \cdot \text{m}^{-1}$ ,  $\phi_{1D}^* = 1.2 \cdot 10^{-24} \text{ J} \cdot \text{m}$ ,  $g_D = 2 \cdot 10^{-8} \text{ J} \cdot \text{m}^{-1}$ ,  $\bar{\mu}_D = 3.3 \cdot 10^{-4} \text{ J} \cdot \text{m}^{-1}$ ,  $e_D = 6 \cdot 10^{-23} \text{ J} \cdot \text{m}$ ,  $\phi_{0g}^* = 0.4 \text{ J} \cdot \text{m}^{-2}$ ,  $\phi_{1g}^* = 2.8 \cdot 10^{-6} \text{ J} \cdot \text{m}^{-1}$ ,  $\phi_{2g} = 5.6 \cdot 10^{-13} \text{ J}$ ,  $\phi_{3g} = 3 \cdot 10^{-20} \text{ J} \cdot \text{m}$ ,  $g_g = 12 \text{ J} \cdot \text{m}^{-2}$ ,  $\bar{\lambda}_g = 2.5 \cdot 10^5 \text{ J} \cdot \text{m}^{-2}$ ,  $\bar{\mu}_g = 6.3 \cdot 10^5 \text{ J} \cdot \text{m}^{-2}$ ,  $e_g = 3.6 \cdot 10^{-4} \text{ J} \cdot \text{m}^{-1}$ ,  $\phi_{gD} = 10^{-16} \text{ J}$ ,  $D_D = 0.12 \cdot 10^{-29} \text{ J} \cdot \text{m}$ ,  $D_g = 10^{-13} \text{ J} \cdot \text{m}^3$ ,  $\gamma_{h_D} = 3 \cdot 10^{25} \text{ J}^{-1} \cdot \text{m}^{-1} \cdot \text{s}^{-1}$ ,  $\gamma_{h_g} = 10^6 \text{ J}^{-1} \cdot \text{m}^{-1} \cdot \text{s}^{-1}$ . Сечение образца в модели перпендикулярно его оси разбивали на  $100 \times 100$  квадратных конечных элементов (размер стороны 0.1 mm), так что общее сечение образца составило  $1 \times 1$  см. Начальное значение плотностей дефектов по всему сечению выбирали равным  $h_{g0} = 0 \text{ m}^{-1}$ ,  $h_{D0} = 10^{15} \text{ m}^{-2}$ . В областях с номерами элементов  $i = 25\text{--}40$  и  $j = 25\text{--}40$  вводили неоднородность по границам зерен  $h_{g0} = 7 \cdot 10^6 \text{ m}^{-1}$ , а с номерами  $i = 65\text{--}80$  и  $j = 65\text{--}80$  – неоднородность по дислокациям  $h_{D0} = 9 \cdot 10^{15} \text{ m}^{-2}$  (рис. 7).



**Рис. 7.** Распределение плотностей границ зерен (*a*) и дислокаций (*б*) по сечению образца на 16000-м шаге эволюции (временной шаг равен  $0.67 \cdot 10^{-3} \text{ s}$ )

Из рис. 7 видно, что на 16000-м шаге эволюции начальные неоднородности стали расползаться от места их первоначальной локализации. Причем при выбранных параметрах модели неоднородность по границам зерен фиксируется более явно и отражается на плане и границ зерен, и дислокаций, в то время, как неоднородность по дислокациям проявляется только на определенном шаге эволюции и только на плане границ зерен. В целом эволюция плотности границ зерен и дислокаций в процессе ИПД протекает в направлении достижения предельного стационарного состояния и гомогенизации плотностей этих дефектов в поперечном сечении образца.

Возникает вопрос, каким образом могут формироваться кластеры никеля или хрома в ходе ИПД. В силу скоротечности процесса поатомная диффузия, очевидно, не успевает внести существенный вклад в массоперенос этих компонентов. Но, с другой стороны, при движении границ зерен последние сами могут захватывать атомы этих компонентов, образуя обогащенные зоны. В еще большей степени это может быть отнесено к дислокациям, которые по определению обладают высокой подвижностью, могут аккумулировать в своих ядрах атомы никеля или хрома и переносить их на вновь образуемые границы.

Дальнейшее развитие теории может идти двумя путями. Во-первых, по аналогии с теорией [4,5], но лишь с тем различием, что вместо носителей диффузии будут рассматриваться не вакансии, а дислокации или даже границы зерен. Второй путь – это рассмотрение трехдефектной модели НЭТ, в которую войдут в той или иной степени точности учета все три дефекта – вакансии, дислокации и границы зерен. При этом массоперенос атомов никеля, хрома и железа будет также учтен по аналогии с моделированием химических реакций в теории самоорганизации [12].

### **Выводы**

1. Обнаружено, что ИПД при комнатной температуре приводит к атомному расслоению твердых ГЦК-растворов стабильных хромоникелевых ГЦК-сплавов с образованием кластеров с повышенной температурой Кюри. Устранение концентрационной микронеоднородности, индуцированной холодной деформацией в сплаве  $Fe_{59}Ni_{30}Cr_{11}$ , начинается в процессе отжига при  $200^{\circ}C$ . Окончательное выравнивание состава происходит вследствие рекристаллизации  $\gamma$ -фазы при  $600^{\circ}C$ .

2. В ходе экспериментов показано, что предсказанные теорией увеличение сегрегаций никеля на стоках и, следовательно, значительное повышение намагниченности образцов после теплой деформации не подтвердились. Возможно, это обусловлено тем, что при температурах отжига  $250^{\circ}C$  и выше кластеры неустойчивы и растворяются диффузионным путем, полностью исчезая при  $600^{\circ}C$ .

3. Предложен новый механизм массопереноса в твердых телах, подвергнутых ИПД, основанный на учете вклада более крупных дефектов, таких как

дислокации и границы зерен. На основании этого механизма намечено два варианта обобщения теории для описания массопереноса и формирования кластеров.

1. P.R. Okamoto, L.E. Rehn, J. Nucl. Mater. **83**, № 1, 2 (1979).
2. Ю.Г. Чукалин, В.В. Петров, В.Р. Штириц, Атомная энергия **65**, 254 (1988).
3. А.И. Дерягин, В.А. Завалишин, В.В. Сагарадзе, А.Р. Кузнецов, ФММ **89**, № 6, 82 (2000).
4. А.Р. Кузнецов, С.А. Стариков, В.В. Сагарадзе, И.А. Степанов, В.А. Печенкин. М. Гирзиг, ФММ **98**, № 3, 65 (2004).
5. С.А. Стариков, А.Р. Кузнецов, В.В. Сагарадзе, В.А. Печенкин, И.А. Степанов, ФММ **102**, № 2, 147 (2006).
6. А.И. Дерягин, В.А. Завалишин, В.В. Сагарадзе, В.Н. Варюхин, Б.М. Эфрос, Металлы № 6, 14 (2005).
7. L.S. Metlov, Phys. Rev. Lett. **106**, 165506 (2011).
8. L.S. Metlov, Phys. Rev. **E81**, 051121 (2010).
9. L.S. Metlov, Phys. Rev. **E90**, 022124 (2014).
10. Л.С. Метлов, Вісник Донецького університету, сер. А: Природничі науки вып. 2, 108 (2007).
11. Л.С. Метлов, Вісник Донецького університету, сер. А: Природничі науки вып. 2, 144 (2008).
12. П. Гленсдорф, И. Пригожин, Термодинамическая теория структуры, устойчивости и флюктуаций, Мир, Москва (1973).

B.M. Efros, A.I. Deryagin, L.S. Metlov, V.A. Ivchenko, N.B. Efros, V.N. Varyukhin

## CONCENTRATION STRATIFICATION AND STRUCTURAL CHANGES IN THE Fe–Ni–Cr ALLOY AFTER THE WARM TWIST DEFORMATION

It was found that the effect of the deformation-induced redistribution of the elements in the Fe<sub>59</sub>Ni<sub>30</sub>Cr<sub>11</sub> alloy was reduced when the temperature of deformation increased from 0 to 300°C. The performed experiments have demonstrated that the theory-predicted increase in the nickel segregation at the sinks and the related substantial increase in magnetization, when the temperature increased, were not confirmed despite enhanced diffusion mobility.

**Keywords:** fcc-alloys, severe plastic deformation, stratification, ferromagnetic clusters

**Fig. 1.** Magnetic field dependence of the specific magnetization  $\sigma$  of the Fe<sub>59</sub>Cr<sub>11</sub>Ni<sub>30</sub> alloy at 24°C:  $a$  – the specific magnetization vs the magnetic field  $H$  after varied cold strain  $e$ : 1 – 0, 2 – 0.7, 3 – 1.6, 4 – 2.0, 5 – 3.1, 6 – 3.8, 7 – 6.0, 8 – 6.7, 9 – 7.4, 10 – 8.1, 11 – 8.8, 12 – 9.4;  $b$  – the specific magnetization vs the cold strain  $e$  ( $H = 2.6$  kOe)

**Fig. 2.** Specific magnetization  $\sigma$  of the samples of the Fe<sub>59</sub>Cr<sub>11</sub>Ni<sub>30</sub> alloy in the magnetic field  $H = 2.6$  kOe at the temperature of 24°C vs the temperature of the successive an-

nealing  $T_{\text{ann}}$  of 30-minutes long in 50°C: 1 – non-deformed alloy, 2 – the alloy deformed up to  $e = 1.6$  ( $\varepsilon = 97.7\%$ )

**Fig. 3.** Magnetic field dependence of the specific magnetization  $\sigma$  of the Fe<sub>59</sub>Cr<sub>11</sub>Ni<sub>30</sub> alloy at  $T = 22^\circ\text{C}$  after the varied processing: 1 –  $e = 0$ ; 2 –  $e = 3$  (300°C); 3 –  $e = 3$  (300°C) + anneal (650°C, 30 min); 4 –  $e = 2.0$  (20°C); 5 –  $e = 2.0$  (20°C) + 1.4 (95°C); 6 –  $e = 2.0$  (20°C) + 1.4 (0°C); 7 –  $e = 2.0$  (20°C) + 1.4 (95°C) + 3.1 (20°C); 8 –  $e = 2.0$  (20°C) + 1.4 (95°C) + 3.1 (20°C) + 77 K

**Fig. 4.** Structure and micro-electron diffraction patterns of the Fe<sub>59</sub>Cr<sub>11</sub>Ni<sub>30</sub> alloy after twist pressing ( $e = 3$ ) at 300°C (a) and the X12H30 alloy after SPD ( $e = 4$ ) at 20°C (δ – bright-field image, ε – dark-field image)

**Fig. 5.** Magnetic field dependence of the specific magnetization  $\sigma$  of the Fe<sub>59</sub>Cr<sub>11</sub>Ni<sub>30</sub> alloy (twist extrusion  $e = 3$  at 300°C) at the varied measurement temperature  $T$ , °C: 1 – 19.3, 2 – 24.1, 3 – 42.2, 4 – 60.2, 5 – 80.8, 6 – 101.3, 7 – 120.0, 8 – 142.4, 9 – 159.9, 10 – 23.9 (160°C), 11 – 162.4, 12 – 202.5

**Fig. 6.** Temperature dependence of the specific magnetization  $\sigma$  of the X12H30 steel in the fixed magnetic field  $H = 2.6$  kOe under varied strain: 1 –  $e = 3$  (300°C) + quenchning; 2 –  $e = 3$  (300°C) + quenchning, repetition; 3 –  $e = 3$  (300°C); 4 –  $e = 2$  (20°C) + 1.4 (95°C); 5 –  $e = 2$  (20°C) + 1.4 (0°C)

**Fig. 7.** Cross-section distribution of the density of grain boundaries (a) and dislocations (b) at the 16000-th step of the evolution (the time step is  $0.67 \cdot 10^{-3}$  s)